

методики изготовления можно формировать матрицы микролинз, плоские коллиматоры и другие оптические структуры, работающие как волноводные в плоскости подложки и как градиентные на «просвет», что значительно расширяет функциональные возможности интегральной оптики в системах обработки информации.

## ЛИТЕРАТУРА

1. Никитин В. А., Яковенко И. А. Электростимулированная диффузия в процессах формирования элементов и устройств интегральной оптики.— Краснодар, 1984. Деп. в ВИНИТИ, № 308—84.
2. Иванов В. Н., Никитин В. А., Никитина Е. П., Яковенко И. А. Получение полосковых волноводов с прогнозируемой формой сечения методом электростимулированной диффузии//ЖТФ.— 1983.— Т. 54, № 10.
3. Chartier G. e. a. Graded-index surface or buried waveguides by ion exchange in glass//Appl. Opt.— 1980.— V. 19, N 7.— P. 1092—1095.
4. Oikawa M., Iga K., Sanada T. Distributed-index planar microarray prepared from deep electromigration//Electron. Lett.— 1981.— V. 17, N 13.— P. 452—453.
5. Southwell W. H. Planar optical waveguide lens design//Appl. Opt.— 1982.— V. 21, N 11.— P. 1985—1988.
6. Пат. 56-46125 (Япония). Способ изготовления оптической интегральной схемы с использованием электрического поля/К. К. Ниппон Сэруфукоку.— Опубл. 31.10.81.

Поступило в редакцию 25 апреля 1984 г.

УДК 535.376

Р. М. ГУРАЛЬНИК, Т. Н. МАМОНТОВА, Х. К. МУКАНОВ, Ш. Ш. САРСЕМБИНОВ  
(Ленинград)

## ЭЛЕКТРОННО-СТИМУЛИРОВАННЫЕ ИЗМЕНЕНИЯ ФОТОЛЮМИНЕСЦЕНЦИИ В СТЕКЛООБРАЗНОМ $\text{As}_2\text{S}_3$

Исследование влияния электронного ( $\beta$ ) облучения на свойства халькогенидных стеклообразных полупроводников (ХСП) актуально в связи с проблемой управления параметрами этих материалов, имеющих широкое техническое применение. Изучение обнаруженных недавно электронно-стимулированных изменений физико-химических и оптических свойств ХСП позволило предположить, что в результате радиационного облучения происходят структурные изменения [1, 2], природа которых еще не выяснена. Более подробную информацию может дать изучение фотолюминесценции (ФЛ), поскольку ее метод структурно-чувствителен для ХСП [3].

В настоящей работе исследовалось влияние  $\beta$ -облучения на ФЛ монолитных образцов стеклообразного  $\text{As}_2\text{S}_3$ , в котором наблюдались наиболее существенные электронно-стимулированные изменения оптических свойств [2]. Энергия пучка электронов при  $\beta$ -облучении с помощью линейного ускорителя ЛУ-10 составляла 2 МэВ. Доза облучения варьировалась в пределах  $1 - 5 \cdot 10^{17} \text{ см}^{-2}$ . Облучение проводилось при  $T = 300 \text{ К}$ . Исследовались спектры возбуждения ФЛ и релаксация интенсивности  $I_{\text{ФЛ}}$  в процессе фотовозбуждения — «усталость» образцов, подвергнутых  $\beta$ -облучению с различными дозами. Измерения ФЛ до и после  $\beta$ -облучения образцов осуществлялись при  $T = 4,2 \text{ К}$  в интервале энергий возбуждающих квантов  $2,0 - 2,5 \text{ эВ}$ . В результате измерений установлены значительные изменения исследуемых люминесцентных характеристик в зависимости от дозы  $\beta$ -облучения ( $D$ ). Увеличение  $D$ , как видно из рис. 1 (кривые  $a$ ), сопровождается смещением максимума  $E_x$  спектра возбуждения ФЛ в область меньших энергий, уменьшением наклона низкоэнергетического участка спектра к оси  $\hbar\omega_x$  и возрастанием интенсивности в низкоэнергетическом «хвосте» спектра  $\hbar\omega \leq 2,15 \text{ эВ}$ . Полученные данные согласуются с результатами работы [1], где отмечался длинноволновый сдвиг спектра оптического пропускания  $\beta$ -облученного стекла  $\text{As}_2\text{S}_3$  с ростом  $D$ . Так как низкоэнергетическая часть спектра возбуждения ФЛ связана с поглощением возбуждающего света, то, очевидно, дополнительные локализованные состояния в запрещенной зоне ХСП, возникшие при радиационном облучении, способны участвовать в процессах поглощения и рассеяния фотонов и вызывать спектральные изменения оптического пропускания и возбуждения ФЛ. По-видимому, эти локализованные состояния являются состояниями флуктуационного типа и могут быть обусловлены существованием в сетке стекла областей, где осуществляются главным образом связи S—S. В таком случае возрастание интенсивности ФЛ в области спектра возбуждения, связанной с поглощением, позволяет предполагать, что в результате действия электронного облучения увеличивается кон-

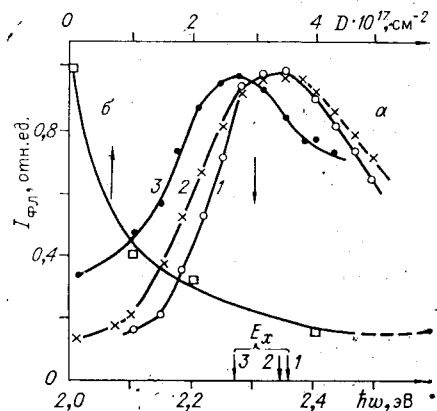


Рис. 1. Спектры возбуждения ФЛ стеклообразного  $\text{As}_2\text{S}_3$  при  $T = 4,2$  К (а):  
1 — до облучения; 2 — после облучения,  $D = 2 \cdot 10^{17} \text{ см}^{-2}$ ; 3 — нормированные по интенсивности на собственные максимумы,  $D = 4 \cdot 10^{17} \text{ см}^{-2}$ ; зависимость интенсивности ФЛ в стеклообразном  $\text{As}_2\text{S}_3$  от дозы радиации электронами с энергией 2 МэВ (б). Энергия возбуждающего света взята в максимуме спектра возбуждения ФЛ ( $E_x$ ) для каждого образца

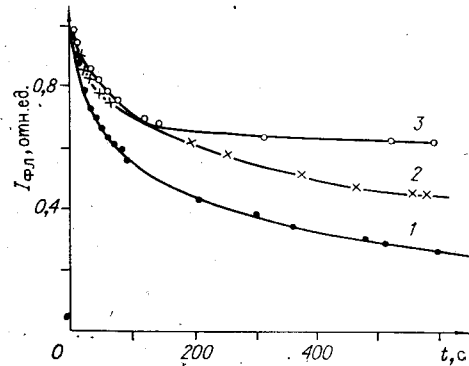


Рис. 2. Кинетика эффекта «усталости» люминесценции в стеклообразном  $\text{As}_2\text{S}_3$  при различных дозах  $\beta$ -облучения:

1 — до облучения; 2 —  $D = 2 \cdot 10^{17} \text{ см}^{-2}$ ; 3 —  $D = 4 \cdot 10^{17} \text{ см}^{-2}$ . Возбуждение осуществлялось фотонами с  $\hbar\omega = E_{x_i}$  ( $i=1,2,3$ )

центрация дефектов, вызываемых обогащенными халькогеном областями, например  $C_3^+$ ,  $C_1^-$ , и их близких валентно-переменных пар.

С увеличением дозы  $\beta$ -облучения стеклообразного  $\text{As}_2\text{S}_3$  наблюдается гашение ФЛ, которое имеет предел при  $D = 5 \cdot 10^{17} \text{ см}^{-2}$  (см. рис. 1, кривая б). Для интерпретации этого факта применима модель, предложенная в [4], согласно которой в объеме ХСП имеются внутренние области (пустоты, поры), на границах которых реализуются безызлучательные процессы, вызванные поверхностной рекомбинацией. Тогда при облучении быстрыми электронами может возникнуть разрастание пор, т. е. увеличение внутренней поверхности и соответственно безызлучательного канала рекомбинации неравновесных носителей заряда. Аналогичные результаты получены нами при исследовании  $\beta$ -облученных стеклообразных полупроводников системы  $\text{As} - \text{Se}$  [5].

В настоящей работе обнаружено также электронно-стимулированное изменение кинетики «усталости» люминесценции (рис. 2): в  $\beta$ -облученных образцах интенсивность ФЛ достигала своего квазистационарного значения за меньший интервал времени для  $D = 4 \cdot 10^{17} \text{ см}^{-2}$   $t \sim 150$  с, тогда как для необлученного образца  $t \sim 10^3$  с. Можно предположить, что электронная бомбардировка благоприятствует возникновению в разупорядоченной структуре  $\text{As}_2\text{S}_3$  поликристаллических фрагментов (подтверждением служит факт увеличения микротвердости  $\beta$ -облученных образцов) [1]. Вследствие частичной кристаллизации, при которой происходит увеличение жесткости структурной сетки стекла, уменьшается скорость генерации метастабильных безызлучательных центров (например, спаренных дефектов типа  $\langle C_3^0, C_1^0 \rangle$ ), обуславливающих эффект «усталости» люминесценции в аморфных полупроводниках [6], и характер спада интенсивности становится менее выраженным.

Полученные результаты свидетельствуют об информативности метода ФЛ для обнаружения как электронно-стимулированных, так, по-видимому, и других радиационных изменений структуры ХСП. Необходимо дальнейшее изучение фотoluminesценции электронно-облученных ХСП в сочетании с электронно-микроскопическим, рентгеноструктурным и другими видами анализа структуры рассматриваемых материалов.

## ЛИТЕРАТУРА

- Гуральник Р. М., Лантратова С. С., Любин В. М., Сарсембинов Ш. Ш. Электронно-стимулированные реверсивные изменения оптических свойств и микротвердости стеклообразного  $\text{As}_2\text{S}_3$  // ФТГ. — 1982. — Т. 24, вып. 5.
- Сарсембинов Ш. Ш., Гуральник Р. М., Максимова С. Я., Федоренко Т. А. Влияние электронного облучения и материала электродов на свойства ХСП // Аморфные полупроводники-82. — Бухарест, 1982.
- Коломиец Б. Т., Мамонтова Т. Н., Муканов Х. К. Фотолюминесценция стеклообразного диселенида германия, подвергнутого термическому отжигу // ФТП. — 1981. — Т. 15, вып. 6.
- Phillips J. C. Topological model for non-radiative carrier decay in chalcogenide alloy glasses // J. of Non-Cryst. Sol. — 1980. — V. 41, N 1. — P. 179—187.

5. Сарсембинон Ш. Ш., Мамонтова Т. Н., Гуральник Р. М., Муканов Х. К. Электронно-стимулированные изменения спектров фотолюминесценции стеклообразных полупроводников систем As — S и As — Se // ФТТ. — 1984. — Т. 26, вып. 12.
6. Adler D. Fundamental physics problem of amorphous semiconductors // Proc. Kyoto Summer Inst./F. Yonezawa. Berlin: Springer-Verlag, 1981.

Поступило в редакцию 13 декабря 1985 г.

УДК 535.241.13 : 534

В. М. МАСТИХИН, Ю. Е. НЕВСКИЙ, Д. В. ШЕЛОПУТ  
(Новосибирск)

### ШИРОКОПОЛОСНАЯ АКУСТООПТИЧЕСКАЯ ЯЧЕЙКА СПЕКТРОАНАЛИЗАТОРА

Важная характеристика акустооптических систем спектрального анализа — работа в реальном масштабе времени [1]. Пространственное разрешение в плоскости преобразования Фурье соответствует частотному разрешению  $\delta f = 1/\tau$ , где  $\tau$  — апертурное время акустооптической ячейки, равное  $L/V$ ,  $L$  — линейный размер апертуры,  $V$  — скорость ультразвука.

При больших значениях несущих частот входных сигналов (более 100 МГц), как правило, реализуется брэгговская дифракция, которая по сравнению с дифракцией Рамана — Ната позволяет расширить полосу рабочих частот и получить более высокую эффективность преобразования. Эффективность возрастает с увеличением длины взаимодействия оптической и акустической волн  $l$ . Однако принципиальное ограничение на максимальную величину  $l$  вызывает необходимость работы с широкополосными сигналами при фиксированном угле падения считывающего пучка, а именно  $l \leq V^2/\lambda f_0 \Delta f$ , где  $f_0$  и  $\Delta f$  — значения несущей частоты и полосы частот;  $\lambda$  — длина волны света. Полосу рабочих частот можно существенно расширить, если осуществить режим автоподстройки угла Брэгга. Для этого фронт звуковой волны с изменением частоты должен менять свою ориентацию относительно светового луча по заданному закону. Такую автоподстройку получают с помощью фазированной решетки излучателей звука. Этот способ возбуждения ультразвука позволяет в несколько раз увеличить полосу рабочих частот при сохранении достаточной дифракционной эффективности. Условие частичной автоподстройки можно выполнить при возбуждении пьезопластины замедляющими системами [2].

Нами использованы замедляющие системы двух типов: спираль и планарная. Эти системы работают по принципу фильтра низких частот с  $LC$ -звеньями. Режим автоподстройки осуществляется в том случае, если шаг замедляющей системы удовлетворяет условию

$$P = \frac{2V^2 n_0}{f_0^2 \lambda_0},$$

где  $V$  — скорость звука;  $n_0$  — показатель преломления;  $f_0$  — центральная частота.

Методы расчета замедляющих систем обоих типов идентичны. Параметры акустооптических устройств, в которых для возбуждения ультразвука используются замедляющие системы указанных типов, также идентичны. В то же время планарная система имеет неоспоримое преимущество в технологичности и воспроизводимости.

Схема акустооптической ячейки с возбуждением звука с применением замедляющей системы в планарном исполнении приведена на рис. 1. К кристаллу КРС-5 1 металлической (In) связкой 2 приварен пьезопреобразователь 3 из  $\text{LiIO}_3$  z-среза. Электрическим контактом является только центральный участок связки, задающий поперечный размер апертуры светового пучка. Продольные акустические волны распространяются в кристалле в направлении [111], поляризация света имеет то же направление. Планарная замедляющая система выполнена методом фотолитографии пленки Al 5 на стеклянной подложке 4.

Для центральной частоты 200 МГц толщина пластины  $\text{LiIO}_3$  составляла около 10 мкм. Геометрия замедляющей системы выбрана так, чтобы в полосе частот  $\sim 200$  МГц активная составляющая входного сопротивления равнялась 50 Ом. Период замедляющей системы  $D = 1,66$  мм, ширина металлической полосы  $d = 0,4$  мм, длина полосы  $H = 20$  мм. Ширина электрода связки в направлении, перпендикулярном направлению света, равна 1 мм. Второй размер апертуры светового пучка определяется длиной кристалла, в нашем случае равной 20 мм. Этот размер определяет быстродействие ячейки  $\tau$ , равное примерно 10 мкс. На рис. 2 приведены амплитудно-частотная характеристика 1 и зависимость дифракционной эффективности 2 от